

5. Мартюшев Н.В. Программные средства для автоматического металлографического анализа // Современные проблемы науки и образования. 2012. № 5. с. 79.

6. Мартюшев Н.В. Влияние условий кристаллизации на свойства отливок из бронзы брос 10-10 // Литейное производство. 2011. № 6. С. 11-13.

7. Пашков Е.Н., Зиякаев Г.Р. Уравнения движения ротора с многокамерным жидкостным автобалансирующим устройством // Известия высших учебных заведений. Физика. 2012. Т. 55. № 5-2. с. 80-83.

8. Мартюшев Н.В., Синогина Е.С., Шереметьева У.М. Система мотивации студентов высших учебных заведений к выполнению научной работы // Вестник Томского государственного педагогического университета. 2013. № 1 (129). с. 48-52.

9. Мартюшев Н.В. Параметры дендритной структуры медных сплавов // Известия высших учебных заведений. Физика. 2011. Т. 54. № 11-3. С. 229-232.

10. Мартюшев Н.В. Улучшение свойств бронз, содержащих свинец, их легированием и микролегированием // Металлургия машиностроения. 2011. № 3. С. 40.

11. Мартюшев Н.В., Егоров Ю.П., Утьев О.М. Компьютерный анализ структуры материалов // Обработка металлов: технология, оборудование, инструменты, материаловедение. 2003. № 3. С. 32-34.

ИССЛЕДОВАНИЕ СКОРОСТЕЙ ОХЛАЖДЕНИЯ В РАЗЛИЧНЫХ СЕЧЕНИЯХ ОТЛИВОК ИЗ НИКЕЛЕВОЙ БРОНЗЫ.

Ристо Н.А., студент гр. 4А10 ИФВТ ТПУ

*Национальный исследовательский Томский политехнический университет,
634050, Россия, г. Томск, пр. Ленина, 30
E-mail: Ris_to555@list.ru*

В настоящее время в машиностроении большое количество деталей изготавливается из медных сплавов - бронз. Там где от таких сплавов требуются повышенные прочностные характеристики, применяется никелевая бронза. Однако из-за её высокой дороговизны количество применяемых в промышленности марок никелевых бронз крайне ограничено, а сами никелевые бронзы слабо исследованы. Вместе с тем высокий предел прочности на разрыв и хорошие триботехнические характеристики делают эти сплавы в ряде случаев просто незаменимыми.

Сотрудниками кафедры МТМ ТПУ проводятся экспериментальные работы по выявлению закономерностей влияния условий кристаллизации на структуру и свойства таких никелевых бронз. В ходе проводимых исследований, было показано, что скорость охлаждения влияет на структуру и свойства таких бронз. Кроме того, скорость охлаждения не постоянна по всему сечению отливки, что дает различную структуру по сечению. Уже имеющиеся данные в литературе содержат лишь качественные данные об этом. В результате появилась задача количественной оценки влияния скорости охлаждения.

Для решения поставленной задачи сотрудниками кафедр ПМЭ и МТМ ТПУ был создан прибор для построения зависимостей температуры охлаждаемой отливки от времени – «Термограф» (Рис. 1).



Рис. 1. Внешний вид прибора «Термограф».

Прибор имеет 8 хромель-алюмелевых термопар. Регистрация значений термо-э.д.с. термопар ведется с помощью высокоскоростного прибора «Термограф». Значение термо-э.д.с. преобразуется с помощью аналогово-цифрового преобразователя и записывается в память прибора. Прибор способен регистрировать до 40 значений термо-э.д.с. в секунду. Далее обработка результатов и построение графических зависимостей осуществляется на персональном компьютере при помощи программы «ТермоХр».

Таким образом, в данной работе изучалось неравномерность охлаждения отливок, а так же определялись скорости охлаждения материала в различных сечениях отливки. Исследуемые бронзы выплавляли в высокочастотной индукционной тигельной печи ВЧГ2-100/0,66 из технически чистых компонентов в тигле из графита. Состав шихты исследуемой бронзы приведен в таблице 1.

Таблица 1. Содержание элементов % масс.

Марка бронзы	Содержание элементов, % масс			
	Sn	Ni	Cu	Раскислитель
БрОН10-20	10	20	69.5	0,5

Раскисление проводилось фосфористой медью перед закладкой никеля и олова в расплав.

Температуру заливки исследуемой бронзы составляла 1170°C и контролировалась быстродействующим оптическим пирометром ТПТ-90 с лазерным наведением по графитовой таблетке на поверхности расплава.

Бронзу БрОН10-20 заливали в графитовую литейную форму с соотношением массы отливки к массе формы 1:2,5. После заливки в холодные графитовые формы при температуре 25°C, они охлаждались на воздухе. Отливка представляла собой цилиндр с диаметром 18 мм и высотой 70 мм.

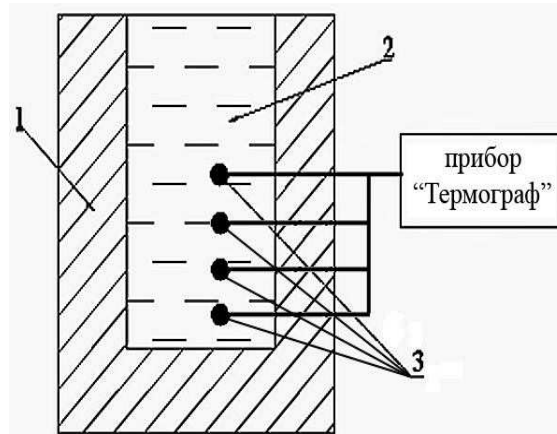


Рис. 2. Внешний вид прибора "Термограф"

1 – литейная форма;

2 - расплав;

3 - хромель-алюмелевые термопары.

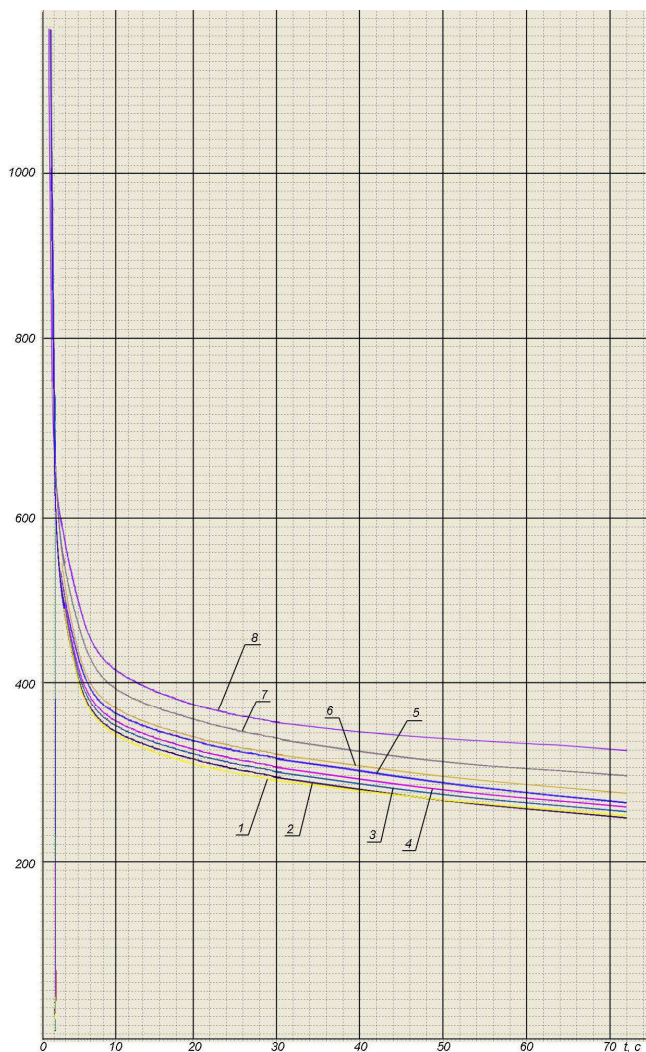


Рис.3. Зависимости температуры отливки от времени.

При построении кривых, хромель-алюмелевые термопары (с диаметром проволок 0,3 мм) располагали на расстоянии 6 мм от стенки формы (рис. 2.) в соответствии с рекомендацией, данными в работе [1]. По высоте термопары располагались – первая на расстоянии 3 мм от дна отливки, остальные на расстоянии 3 мм друг от друга (рис. 2)

Погрешность при измерении и преобразовании сигнала в цифровой вид, при использовании хромель-алюмелевых термопар составляет при температурах выше 500°C менее 1°C [2-4]

На рис. 3 представлены кривые охлаждения никелевой бронзы при отливке в графитовый кокиль, построенные с помощью прибора «Термограф» и компьютерной программы «ТермоХр». Номер кривых указывает на их удаленность от дна отливки (рис. 2). Так кривая 1 соответствует положению термопары на расстоянии 3мм от дна, кривая 2 – 6 мм, кривая 3 – 9мм и так далее.

По построенным зависимостям в интервале от температуры

заливки (1170°C) до 800°C, (включающем кристаллизацию), определили среднюю скорость охлаждения (табл. 2). Такой выбор интервала обусловлен близкой к линейной зависимостью температуры отливки от времени в нем.

Анализируя полученные результаты можно увидеть, что удаление от края отливки в осевом направлении, в соответствии с классическими представлениями о кристаллизации слитка, приводит к падению скорости охлаждения. Из таблицы 2 видно, что в приповерхностной зоне скорость охлаждения максимальна и составляет 160°C/с. С удалением от донной части отливки скорость снижается.

Таблица 2. Скорости охлаждения отливки в различных её сечениях.

Номер термопары	Удаление от нижней части отливки, мм	Скорость охлаждения, °C/с
1	3	160
2	9	158
3	12	154
4	15	150
5	18	146
6	21	143
7	24	138
8	27	134

По итогам проделанной работы можно сделать следующие выводы и заключения:

1. Отработана методика определения скоростей охлаждения сплавов с использованием разработанного прибора. Показано что для никелевых бронз оптимальным является измерение скорости охлаждения в интервале от температуры заливки (50-70°C) выше линии ликвидуса до 800°C.

2. Определены численные значения скоростей охлаждения в различных сечениях отливки из никелевой бронзы при литье в графитовую литейную форму. Показано, что разность скоростей охлаждения в приповерхностных и центральных слоях в данном случае может достигать 15-17%.

Результаты исследования представленные в настоящей работе выполнены при поддержке гранты Президента РФ МК-6661.2013.8.

Список литературы:

1. Мартюшев Н.В. Влияние морфологии включений легкоплавкой фазы на триботехнические свойства бронз // Приволжский научный вестник. 2011. № 2. С. 8.
2. Мартюшев Н.В. Влияние условий кристаллизации на структуру и свойства бронз, содержащих свинец // Металлургия машиностроения. 2010. № 4. С. 32-36.
3. Саруев Л.А., Зиякаев Г.Р., Мартюшев Н.В. Математическое моделирование гидроимпульсного механизма бурильных машин // В мире научных открытий. 2010. № 6-3. С. 61-65.
4. Yakovlev A.N., Kostikov K.S., Martyshev N.V., Shepotenko N.A., Falkovich Y.V. Institute of high technology physics experience in masters of engineering and

doctoral training: the platform for cooperation with russian and international companies in the domain of material science and physics of high energy systems // Известия высших учебных заведений. Физика. 2012. Т. 55. № 11-3. С. 256.

5. Мартюшев Н.В. Программные средства для автоматического металлографического анализа // Современные проблемы науки и образования. 2012. № 5. с. 79.

6. Мартюшев Н.В. Влияние условий кристаллизации на свойства отливок из бронзы брос 10-10 // Литейное производство. 2011. № 6. С. 11-13.

7. Пашков Е.Н., Зиякаев Г.Р. Уравнения движения ротора с многокамерным жидкостным автобалансирующим устройством // Известия высших учебных заведений. Физика. 2012. Т. 55. № 5-2. с. 80-83.

8. Мартюшев Н.В., Синогина Е.С., Шереметьева У.М. Система мотивации студентов высших учебных заведений к выполнению научной работы // Вестник Томского государственного педагогического университета. 2013. № 1 (129). с. 48-52.

9. Мартюшев Н.В. Параметры дендритной структуры медных сплавов // Известия высших учебных заведений. Физика. 2011. Т. 54. № 11-3. С. 229-232.

10. Мартюшев Н.В. Улучшение свойств бронз, содержащих свинец, их легированием и микролегированием // Metallurgia машиностроения. 2011. № 3. С. 40.

11. Мартюшев Н.В., Егоров Ю.П., Утьев О.М. Компьютерный анализ структуры материалов // Обработка металлов: технология, оборудование, инструменты, материаловедение. 2003. № 3. С. 32-34.

ВЛИЯНИЕ ПАРАМЕТРОВ МИКРОСТРУКТУРЫ НА КОЭФФИЦИЕНТ ТРЕНИЯ БРОНЗЫ БРОСЦН-10-8-2-2.

Индойту Д.В., студент гр. 4А21 ИФВТ ТПУ

*Национальный исследовательский Томский политехнический университет,
634050, Россия, г. Томск, пр. Ленина, 30*

E-mail: Danila.Indoitu@mail.ru

Многофазные свинцовистые бронзы используются в машиностроении для изготовления изделий с высокими антифрикционными и противозадирными свойствами, например, подшипников скольжения. Но в ряде случаев детали из таких материалов разрушаются вследствие недостаточно высокой прочности. Свинец практически не растворяется ни в одном из компонентов таких бронз и образует включения, значительно снижающие прочностные характеристики бронзы. На прочность бронз будет влиять не только количество свинца, но также форма и размер свинцовых включений, формирование которых определяется рядом технологических факторов (температурой заливки, скоростью охлаждения и др. [1-3]). Вопросы формообразования свинцовых включений в многокомпонентных бронзах и влиянии морфологии таких включений на механические свойства рассматриваются в работе 3. Из нее следует, что сферическая форма включений, получаемая при низких скоростях охлаждения, позволяет получить наиболее высокие прочностные свойства. Однако в работе не рассматривается вопрос о